

## ЗАСТОСУВАННЯ МОДЕЛЬНИХ ПОТЕНЦІЯЛІВ У ТЕОРІЇ ЕЛЕКТРОННИХ КОРЕЛЯЦІЙ

М. В. Ваврух, С. П. Коваль, Н. Л. Тишко

Львівський національний університет імені Івана Франка, кафедра астрофізики,  
бул. Кирила і Мефодія, 8, Львів, 79005, Україна  
(Отримано 17 листопада 2000 р.)

Запропоновано просту схему врахування короткосяжних кореляцій у виродженіх системах зі взаємодією Кулона, що ґрунтуються на використанні слабких далекосяжних модельних потенціалів взаємодії типу квантового пакета. Обмотивовано застосування модельних потенціалів для опису міжелектронних й електрон-йонних кореляцій. Ефективність запропонованого методу доведено шляхом розрахунку енергетичних, структурних і діелектричних характеристик моделі електронної рідини в широкій ділянці параметра неідеальності.

**Ключові слова:** фермі-системи, короткосяжні кореляції, модель виродженої електронної рідини, електрон-йонні взаємодії.

PACS number(s): 05.30.Fk

### I. ВСТУП

Як відомо, наближення хаотичних фаз є універсальним методом урахування далекосяжних кореляцій у системах фермі-частинок, зокрема у вироджених електронних системах зі взаємодією Кулона. Загальноприйнятым методом урахування короткосяжних кореляцій у сучасній теорії фермі-систем є концепція локального поля. Хоч поправка на локальне поле для систем зі взаємодією Кулона в загальних рисах достатньо вивчена, досі немає цілком достовірних даних про цю функцію [1]. У такій ситуації становить інтерес пошук альтернативних методів урахування кореляцій на коротких відстанях між частинками.

Один із простих і перспективних підходів до розв'язання цієї проблеми може базуватися на ідеї моделювання взаємодії у вироджених фермі-системах частинок, що взаємодіють за законом Кулона. Відзначимо, що певною мірою це еквівалентно моделюванню поправки на локальне поле або ж обґрунтуванню концепції локального поля не з формального математичного, а з чисто фізичного боку. Ефективний самоузгоджений потенціал взаємодії між частинками, який визначає двочастинкову кореляційну функцію (але не енергію системи), слід вибрати так, щоб він був слабким на малих відстанях і мав асимптотику  $e^2 r^{-1}$  — на великих. На перший погляд, та-кій підхід здається парадоксальним, але аргументування цієї ідеї легко зробити за допомогою співвідношення невизначеностей Гайзенберга. Для означеності будемо розглядати модель електронної рідини. Оскільки невизначеність імпульсу окремого електрона в сильно виродженої системі має порядок  $\hbar k_F$  (де  $k_F = (3\pi^2 N/V)^{1/3}$  — хвильове число Фермі,  $N$  — число частинок в об'ємі  $V$ ), то невизначеність його положення має порядок  $k_F^{-1}$ . Кожний електрон можна розглядати як просторово розподілену частинку, що займає ділянку з лінійними розмірами  $k_F^{-1}$ .

Потенціал взаємодії таких частинок подібний до потенціалу квантового пакета  $v_{ee}(r) = \frac{e^2}{r} \{1 - e^{-\gamma r k_F}\}$ , де параметр  $\gamma$  має порядок одиниці. Варто зауважити, що саме на такому ефективному потенціалі взаємодії між електронами побудовані діяgramи теорії збурень у модифікованому методі зміщень [2]. У невиродженої системі невизначеність координати електрона має порядок довжини теплової хвилі де-Бройля  $\lambda_D$ , тому ефективний потенціал взаємодії, що зображається виразом  $v_{ee}(r) = \frac{e^2}{r} \{1 - e^{-\gamma \frac{r}{\lambda_D}}\}$ , не значно відрізняється від потенціалу Кулона.

Метою цієї роботи є побудова простої схеми розрахунку характеристик вироджених електронних систем шляхом використання слабкого модельного потенціалу взаємодії, що має зміст самоузгодженого.

### II. НАБЛИЖЕННЯ ХАОТИЧНИХ ФАЗ ІЗ МОДЕЛЬНИМ ПОТЕНЦІАЛОМ У ТЕОРІЇ ЕЛЕКТРОННОЇ РІДИНИ

Потенціал  $\nu_{ee}(r)$  є слабким, через те в найпростішому варіанті розрахунку двочастинкової кореляційної функції  $\mu_2(r)$  обмежимось наближенням хаотичних фаз:

$$\mu_2(r) = N^{-2} \beta^{-1} \sum_{\nu, \mathbf{q}} \mu_2(x, -x) e^{i \mathbf{q} \cdot \mathbf{r}}, \quad (1)$$

$$\mu_2(x, -x) = \mu_2^0(x, -x) \left\{ 1 + \frac{\nu_{ee}(q)}{V} \mu_2^0(x, -x) \right\}^{-1}.$$

Тут  $\mu_2^0(x, -x)$  — спектральне зображення двочастинкової кореляційної функції ідеальної системи ферміонів у змінних  $x \equiv (\mathbf{q}, \nu)$ , де  $\mathbf{q}$  — хвильовий вектор,  $\nu = 2\pi n \beta^{-1}$  — частота Мацубари,  $\beta$  — обернена температура [3],  $\nu_{ee}(q)$  — зображення Фур'є модельного

потенціялу. У цьому наближенні ми розрахували кореляційну енергію моделі

$$E_c = (2\beta V)^{-1} \sum_{\mathbf{q}, \nu} V_q \times \int_0^1 \{ \mu_2^\lambda(x, -x) - \mu_2^0(x, -x) \} d\lambda, \quad (2)$$

де  $V_q = 4\pi e^2 q^{-2}$  — зображення Фур'є потенціялу Кулона,  $\mu_2^\lambda(x, -x)$  — парна кореляційна функція моделі з потенціялом взаємодії  $\lambda \cdot \nu_{ee}(q)$ . На рис. 1 показано залежність кореляційної енергії від параметра неідеальності  $r_s$  (параметр Вігнера–Бракнера) у різних наближеннях: кружечки відповідають результатам методу Монте-Карло (МК) [4], трикутники — найкращій статичній поправці на локальне поле [5], нижня крива — наближеню хаотичних фаз із потенціялом Кулона, верхня пунктирна крива — наближеню (1) з потенціялом  $\nu_{ee}(r)$  при  $\gamma = 1$ , нижня штрихпунктирна —  $\gamma = 1.5$ . Жирна сукцільна крива, яка в області металів дуже близька до результатів методу МК, відповідає  $\gamma = 1.25$ . В області проміжних  $r_s$  вона відтворює результати МК лішче, ніж поправка на локальне поле [5]. Поведінку кореляційної енергії в ширшій області  $r_s$  передає рис. 2. З умови, щоб кореляційна енергія в наближенні (1) точно збігалась із результатами МК, випливає залежність параметра  $\gamma$  від  $r_s$  (рис. 3), що свідчить про недостатньо високе наближення, використане для розрахунку кореляційної енергії.

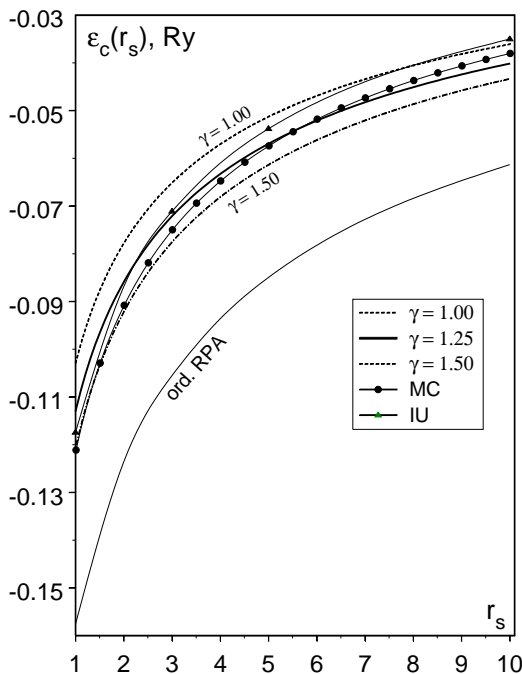


Рис. 1. Кореляційна енергія основного стану моделі електронної рідини у різних наближеннях.

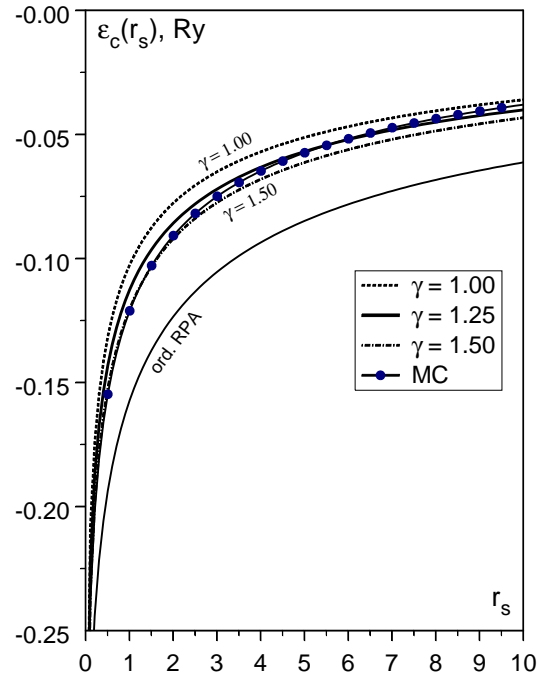


Рис. 2. Кореляційна енергія моделі електронної рідини в ділянці параметра неідеальності  $0 < r_s \leq 10.0$ .

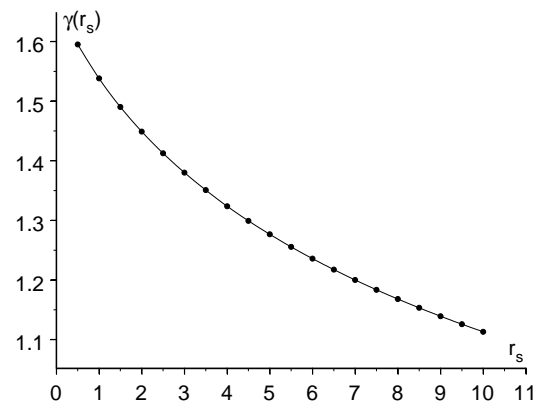


Рис. 3. Залежність параметра потенціялу  $\gamma$ , який у наближенні (1) забезпечує збіжність енергії моделі з результатами МК, від параметра неідеальності  $r_s$ .

Цей висновок підтверджується також розрахунком інших характеристик. На рис. 4 зображено бінарну функцію розподілу  $F_2(r)$  моделі електронної рідини в межах  $1 \leq r_s \leq 5.0$ , розраховану в наближенні (1). Як видно з рисунка, при постійному значенні параметра  $\gamma = \frac{5}{4}$  це наближення забезпечує додатність бінарної функції розподілу лише в межах  $0 \leq r_s \leq 3.5$ .

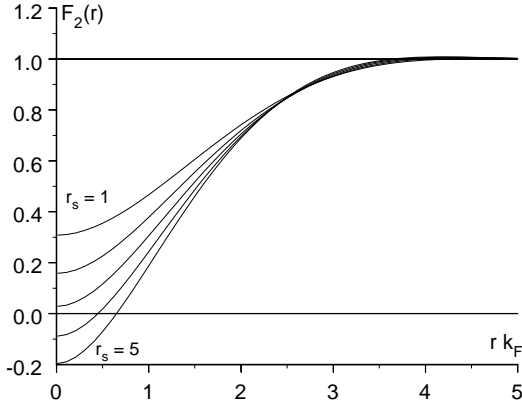


Рис. 4. Бінарна функція розподілу моделі електронної рідини в наближенні хаотичних фаз (1) з модельним потенціалом (при  $\gamma = 5/4$ ).

У наближенні локального поля стандартної теорії збурень

$$\begin{aligned} \mu_2(x, -x) &= \mu_2^0(x, -x) \\ &\times \left\{ 1 + \frac{V_q}{V} \mu_2^0(x, -x) [1 - G(x)] \right\}^{-1}, \end{aligned} \quad (3)$$

де  $G(x)$  — динамічна поправка на локальне поле [1]. Наближення (1) еквівалентне традиційній теорії збурень на потенціалі Кулона із поправкою на локальне поле

$$G_0(x) \equiv G_0(q) = q^2 \{ \gamma^2 + q^2 \}^{-1}, \quad (4)$$

де  $q \equiv |\mathbf{q}|k_F^{-1}$ . Як відомо (див. [1]), у статичному випадку поправка на локальне поле має таку довгохвильову асимптотику:  $G(q) \rightarrow g \cdot q^2 + \dots$ , де  $\frac{1}{4} \leq g \leq \frac{1}{3}$ . Отже, при  $1.0 \leq \gamma \leq 1.5$  функція  $G_0(q)$  приймає звищенні значення в ділянці малих хвильових векторів. Це приводить до неправильної поведінки стисливості  $\lambda$ , визначененої через  $G(x)$ . Оскільки

$$\begin{aligned} \lambda &= 3V(2N\varepsilon_F)^{-1} \left\{ 1 - \frac{6\pi e^2 N}{V\varepsilon_F k_F^2} g \right\}^{-1}, \\ \varepsilon_F &= \hbar^2 k_F^2 / 2m, \end{aligned} \quad (5)$$

стисливість є додатною функцією параметра  $r_s$  в межах  $0 \leq r_s \leq r_s^0$ , де  $r_s^0 = 3^{3/2}(\pi/4)^{4/3}\gamma^2$ . При  $\gamma = 1.5$  маємо  $r_s^0 \simeq 3.4$ , тоді як розрахунки на основі середньої енергії приводять до значення  $r_s^0 \simeq 5.25$  [6].

Щоб забезпечити коректність усіх характеристик моделі в широкій ділянці параметра  $r_s$ , вийдім за рамки наближення хаотичних фаз (1) при використанні модельного потенціалу, замінюючи у (3)  $V_q$  на  $\nu_{ee}(q)$ , а  $G(x)$  — на  $G^M(x)$ .

### III. НАЙПРОСТИШЕ НАБЛИЖЕННЯ ЛОКАЛЬНОГО ПОЛЯ В ТЕОРІЇ ЕЛЕКТРОННОЇ РІДИНИ

Поправку на локальне поле  $G^M(x)$  розрахуймо в найпростішому наближенні — у першому порядку теорії збурень за модельним потенціалом:

$$\begin{aligned} G_1^M(x) &= -[2\beta\nu_{ee}(q)]^{-1} [\mu_2^0(x, -x)]^{-2} \\ &\times \sum_{x_1} \nu_{ee}(q_1) \mu_4^0(x, -x, x_1, -x_1), \end{aligned} \quad (6)$$

що відповідає наближенню слабконеідеальних систем. Тут  $\mu_4^0(x, -x, x_1, -x_1)$  — чотиричастинкова кумулянтна динамічна кореляційна функція ідеальної системи [3]. Відзначимо, що поправка на локальне поле  $G_1^M(x)$  відмінна від поправки на локальне поле традиційної теорії збурень на потенціалі Кулона  $G_1(x)$ , зокрема вони мають різну короткохвильову асимптотику:  $G_1(x) \rightarrow \frac{1}{3}$ , а  $G_1^M(x) \rightarrow \frac{1}{2} - \frac{1}{6} \left[ 1 + \left( \frac{q}{\gamma} \right)^2 \right]$  і є від'ємною. Ці дві функції пов'язані між собою таким співвідношенням:

$$G_1(x) = 1 - \left[ 1 + \left( \frac{q}{\gamma} \right)^2 \right]^{-1} \cdot \left[ 1 - G_1^M(x) \right]. \quad (7)$$

Методика розрахунку поправки на локальне поле з довільним локальним потенціалом відштовхування наведена в працях [1, 7]. При використанні циліндричної системи координат у випадку абсолютноного нуля температури чисельний розрахунок  $G_1^M(x)$  зводиться до обчислення безрозмірного двократного інтеграла:

$$\begin{aligned} G_1^M(x) &= \frac{1}{32} (\gamma^2 + q^2) q^2 \gamma^{-2} \{ I_{2,0}(q, u) \}^{-2} \\ &\times \sum_{\sigma_1, \sigma_2 = \pm 1} \int \int_{-1}^{+1} dz_1 dz_2 \sigma_1 \sigma_2 F_u \left( z_1 + \sigma_1 \frac{q}{2}; z_2 + \sigma_2 \frac{q}{2} \right) \\ &\times \{ A_{\sigma_1, \sigma_2}(s_1^2; 1 - z_1^2; 1 - z_2^2) - A_{\sigma_1, \sigma_2}(s_2^2; 1 - z_1^2; 1 - z_2^2) \}, \\ F_u(z_1; z_2) &= (z_1 - z_2) \{ z_1^2 z_2 - u^2 (2z_1 + z_2) \} \\ &\times (z_1^2 + u^2)^{-2} (z_2^2 + u^2)^{-1}, \\ A_{\sigma_1, \sigma_2}(s^2; a; b) &= \frac{1}{2} \{ W(s^2; a; b) - s^2 - a - b \} \\ &+ a \ln \frac{W(s^2; a; b) + s^2 + b - a}{2s^2} \\ &+ b \ln \frac{W(s^2; a; b) + s^2 + a - b}{2s^2}. \end{aligned} \quad (8)$$

Тут  $I_{2,0}(q, u) = 2\varepsilon_F(3N)^{-1}\mu_2^0(x, -x)$ ,  $u = \frac{\nu}{q}$ ,  $s_1^2 = \{(z_1 + \sigma_1 q/2) - (z_2 + \sigma_2 q/2)\}^2$ ,  $s_2^2 = \gamma^2 + s_1^2$ .

Рис. 5 ілюструє властивості функцій  $G_1^M(x)$  та  $G_1(x)$  у статичному випадку. При значенні параметра потенціалу  $\gamma = 2.5$  коефіцієнт  $g$  в довгохвильовій асимптотиці  $G_1(x)$  близький до  $1/3$ , що дає  $r_s^0 \simeq 5.0$  і забезпечує правильну поведінку стисливості. Залежність кореляційної енергії в цьому наближенні при  $\gamma = 2.5$  від  $r_s$  ілюструє рис. 6: кружечками показані результати МК [4], пунктирна крива відповідає наближеню (1), жирна крива — наближеню локального поля (2) при заміні  $V_q$  на  $\nu_{ee}(q)$ , а  $G(x)$  — на  $G_1^M(x)$ . Середнє відхилення від результатів МК становить 8% в межах  $0 \leq r_s \leq 10.0$ , тоді як середнє відхилення в наближенні (1) — 24%. Бінарна функція розподілу в цьому наближенні має коректну поведінку в межах  $0 \leq r_s \leq 5.5$  (рис. 7).

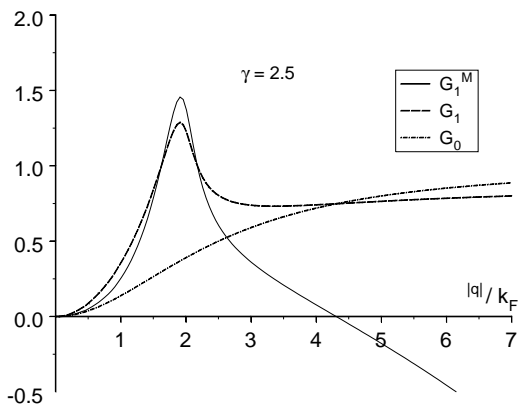


Рис. 5. Різні варіанти статичної поправки на локальне поле моделі електронної рідини (при  $\gamma = 2.5$ ).

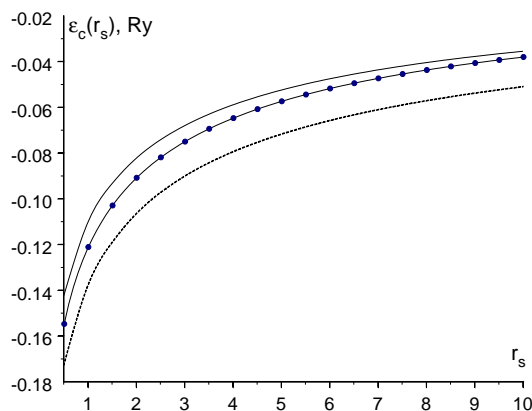


Рис. 6. Кореляційна енергія моделі електронної рідини: результати методу МК, наближення хаотичних фаз із модельним потенціалом та найпростішого наближення локального поля з модельним потенціалом при  $\gamma = 2.5$ .

Таким чином, застосування модельного потенціалу взаємодії типу потенціалу квантового пакета дозво-

ляє розвинути просту й ефективну схему розрахунку сукупності енергетичних, структурних і діелектричних характеристик моделі електронної рідини.

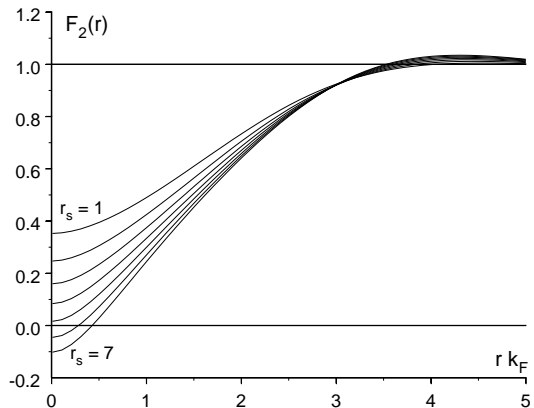


Рис. 7. Бінарна функція моделі електронної рідини в наближенні локального поля в ділянці параметра неідеальності  $1 < r_s \leq 7.0$  при значенні параметра потенціалу  $\gamma = 2.5$ .

#### IV. МОДЕЛЬНИЙ ПОТЕНЦІАЛ ДЛЯ ЕЛЕКТРОН-ЙОННИХ ТА ЕЛЕКТРОН-ПРОТОННИХ ВЗАЄМОДІЙ

Модельні потенціали можуть бути використані також у теорії електрон-йонних та електрон-протонних взаємодій у металічній фазі з метою поліпшення теорії збурень. Неявно це вже використовували в теорії металів. Покажемо тут, що врахуванню короткоспряжених кореляцій у дуже грубому вигляді відповідає потенціал пустого остова Ашкрофта [8]

$$V_A(r) = \begin{cases} -ze^2r^{-1}, & \text{при } r \geq R_c, \\ 0, & \text{при } r < R_c, \end{cases} \quad (9)$$

де  $z$  — валентність йона. Виявляється, що параметр цього потенціалу  $R_c$  звичайно більший за радіус йона  $\rho_0 a_0$ . Для наближеного знаходження останнього скористаймо методом праці [9]. Розглянемо обернену задачу визначення потенціалу йона, в полі якого знаходиться валентний електрон, використовуючи спектроскопічні значення енергії відповідних станів електрона. Хвильову функцію основного стану валентного електрона виберімо у вигляді

$$\Psi(\mathbf{r}) = C\rho^\delta \exp\left\{-\left[\sqrt{\varepsilon_i}\rho + \frac{\alpha}{\rho} + \frac{\beta}{\rho^2}\right]\right\}, \quad (10)$$

де  $\alpha, \beta, \delta$  — невідомі параметри,  $C$  — постійна нормування, а  $\varepsilon_i$  — енергія йонізації. Із рівняння для радіальnoї функції знаходимо потенціал йона. Невідомі коефіцієнти  $\alpha, \beta, \delta$  визначимо з умови, щоб знайдений

потенціал на великих відстанях від йона прямував до потенціалу Кулона точкового йона, а добавки до нього мали б короткосяжній характер, тобто мали б порядок  $r^{-4}$ ,  $r^{-5}$  і т. д. Таким чином, знаходимо потенціал валентного електрона в полі йона у вигляді

$$V(\mathbf{r}) = \frac{e^2}{a_0} \left\{ -\frac{z}{\rho} + \sum_{n=4}^6 \frac{C_n}{\rho^n} \right\}. \quad (11)$$

Тут  $\rho = |\mathbf{r}|a_0^{-1}$ , де  $a_0$  — радіус Бора. Коефіцієнти  $C_n$  — додатні функції, які визначаються енергією йонізації відповідного йона:

$$\begin{aligned} C_4 &= \frac{1}{8} \delta^2 (1 + \delta) \cdot (5\delta - 1) \varepsilon_i^{-1}, \\ C_5 &= \frac{1}{4} \delta^3 (1 + \delta)^2 \varepsilon_i^{-3/2}, \\ C_6 &= \frac{1}{8} \delta^4 (1 + \delta)^2 \varepsilon_i^{-2}, \quad \delta = z \varepsilon_i^{-1/2} - 1. \end{aligned} \quad (12)$$

Енергією  $\varepsilon_i$  визначаються й коефіцієнти  $\alpha$  та  $\beta$ :

$$\alpha = \frac{1}{2} \delta (1 + \delta) \varepsilon_i^{-1/2}; \quad \beta = \frac{1}{4} \delta^2 (1 + \delta) \varepsilon_i^{-1}. \quad (13)$$

Для оцінки точності знайденої хвильової функції скористалися числовими розрахунками атомних функцій багатоелектронних атомів праці [10]. Як видно з порівняння радіальnoї густини ймовірності для валентних електронів простих металів, знайдена апроксимація (10) дає дуже добру збіжність із числовими розрахунками в широкій ділянці змінної  $\rho$  — практично аж до вузла, що розташований поблизу значення  $\alpha^{-1}$ .

На рис. 8 наведено криві знайденого потенціалу для низки простих металів. У ділянці від'ємних значень цей потенціал подібний до потенціалу Ашкрофта, але є більш фізичним й описується плавною функцією. Безрозмірний радіус йона  $\rho_0$ , визначений умовою  $V(\rho_0 a_0) = 0$ , для низки простих металів зображене чорними трикутниками на рис. 9. Чорними кружечками показано значення  $\rho_0$ , знайдені за допомогою хвильової функції (10) з умовою, щоб в ділянці  $r > \rho_0 a_0$  знаходилося 0.985 заряду валентного електрона. Світлі квадратики відповідають функції  $\rho_0 + (2k_F a_0)^{-1}$ , яка дорівнює сумі радіусів йона і хвильового пакета. Світлими кружечками позначене найбільш широко вживані значення параметра потенціалу Ашкрофта низки простих металів. Оскільки параметр  $R_c$  близький до  $\rho_0 + (2k_F a_0)^{-1}$ , то фактично потенціал Ашкрофта враховує не тільки розмір йона, але й короткосяжну електронну кореляцію. Зірочкою позначено величину  $(2k_F a_0)^{-1}$  для

металевої фази водню ( $r_s = 1.65$ ), в описі якої, згідно з ідеєю нашого підходу, слід було б використати модельний потенціал електрон-протонної взаємодії  $\nu_{ei}(r) = -\frac{e^2}{r} [1 - \exp(-2\gamma r k_F)]$ , а в гіршому випадку — потенціал Ашкрофта з відповідним параметром  $R_c = (2k_F a_0)^{-1}$ , а не звичайний потенціал Кулона, що поліпшило б теорію збурень за степенями потенціалу електрон-протонної взаємодії.

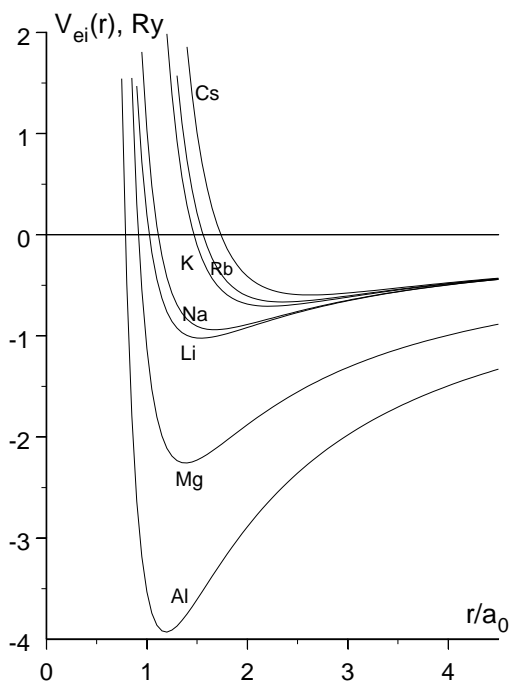


Рис. 8. Ефективний потенціал електрон-йонної взаємодії для низки простих металів.

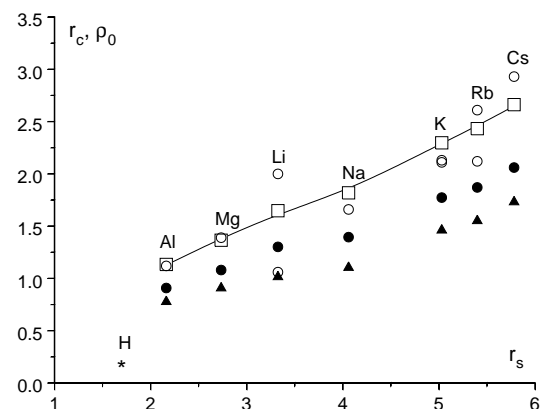


Рис. 9. Залежність радіуса йона, параметра потенціалу Ашкрофта й радіуса локалізації електрона для низки простих металів від параметра неідеальності  $r_s$ .

- [1] М. В. Ваврух, Физ. низк. темп. **22**, 1005 (1996).
- [2] М. В. Ваврух, Я. В. Куштай, В. Б. Солов'ян, Журн. фіз. досл., **2**, 23 (1998).
- [3] М. В. Ваврух, Т. Е. Крохмальский, Укр. фіз. журн., **32**, 621 (1987).
- [4] D. M. Ceperley, B. J. Alder, Phys. Rev. Lett., **45**, 566 (1980).
- [5] S. Ichimaru, K. Utsumi, Phys. Rev. B, **24**, 7385 (1981).
- [6] M. V. Vavruk, T. E. Krokhmalskii, Phys. Status Solidi B **169**, 451 (1992).
- [7] M. V. Vavruk, V. N. Paslavskii, Phys. Status Solidi B **208**, 91 (1998).
- [8] N. W. Ashcroft, Phys. Lett., **23**, 48 (1966).
- [9] М. В. Ваврух, Т. Е. Крохмальский, препринт ИТФ–82–58Р (1982).
- [10] F. Herman, S. Skillman *Atomic Structure Calculations* (Prentice-Hall, Inc., Englewood Cliffs, New Jersey, 1963).

## MODEL POTENTIALS APPLICATION IN THE ELECTRON CORRELATION THEORY

M. V. Vavruk, S. P. Koval', N. L. Tyshko

Department of Astrophysics, Ivan Franko National University of Lviv,  
8 Kyrylo i Mefodii Str., Lviv, UA-79005, Ukraine

A simple scheme for accounting short-range correlations in degenerated electron systems falling back on model interaction potentials such as the potential of a quantum package is offered. The efficiency of the offered method is shown in calculating the energetic, structural and dielectric characteristics of the electron liquid model in a wide range of the coupling parameter.